

## (55) アルミナボール充填層における粉コークスの燃焼挙動

新日本製鉄(株) 生産技研 ○中野正則, 齋藤 力  
佐藤勝彦, 斧 勝也

## 1. はじめに

焼結ヒートパターンを大きく左右する粉コークス燃焼挙動の基礎的な検討を行なうために, Voice ら<sup>1)</sup>とはやや異なる観点から, アルミナ球充填層を用いた実験を行ない, 2, 3 の新しい知見を得たので報告する。

## 2. 実験方法および実験条件

使用した実験装置の模式図を Fig. 1 に示す。

コークスの層内分布を均一にするため, 原料(アルミナ球+コークス)にペントナイト(1%)と水(0.7%)を加えてよく混合した後, 装入した。その後, 実験に先立ち, 添加水分の乾燥を行った。

今回は, 操作因子として, コークス粒径 [ $d_c$ ] およびガス流速 [ $u_f$ ] を採りあげた。実験条件をまとめて Table 1 に示す。

Table 1 Experimental Conditions

$d_c$ (mm)	1 (0.8~1.0), 2 (1.4~2.0), 3 (2.8~3), 4.5 (4.0~5)
$u_f$ (m/s)	0.2, 0.4, 0.6, 0.8
COKE (%)	3.0
Ignition	COG : 40 N L/min × 1 min, COKE (0.5~1 mm) : 30 g

## 3. 実験結果

(1) 最高温度\* [ $T_{max}^*$ ] : Fig. 2

$d_c$  の  $T_{max}^*$  に与える効果について現在のところ明確でない<sup>2)</sup>。本実験では,  $d_c$  の増加により  $T_{max}^*$  が顕著に上昇する結果を得た。

また,  $u_f$  を増すにつれて  $T_{max}^*$  が上昇する傾向があるが,  $d_c = 1 \text{ mm}$  の場合は  $u_f = 0.6 \text{ m/s}$  で最高値を示した。

## (2) 燃焼進行速度\*\* [FFS (600°C)] : Fig. 3

FFS は,  $d_c = 1$  および 2 mm ではほぼ  $u_f$  に比例したが,  $d_c = 3$  および 4.5 mm では高流速側で  $u_f$  に対し飽和した。

FFS は従来からガス流速に比例する<sup>2)</sup>ものと考えられてきたが, これは  $d_c$  が 1 ないし 2 mm の範囲でいえることであって, それ以上の粒径ではガス流速の増加は FFS の増加にほとんど寄与しないことが判った。

## 4. おわりに

今回,  $T_{max}^*$  および FFS に及ぼす  $d_c$  と  $u_f$  の効果について実験的検討を行い, 従来とは異なる結果を得た。また, その一部については, 数式モデルを用いて検討を行ない確認している。

\*  $T_{max}^*$  が定常状態に到達した以後の位置での  $T_{max}$  の平均値

\*\* 層内温度が 600°C に達したところを Flame Front 面としたときの, その進行速度

文献 1) Voice ら : J. I. S. I., 183(1956), P404

2) 浜田ら : 鉄と鋼, 58(1972), P13

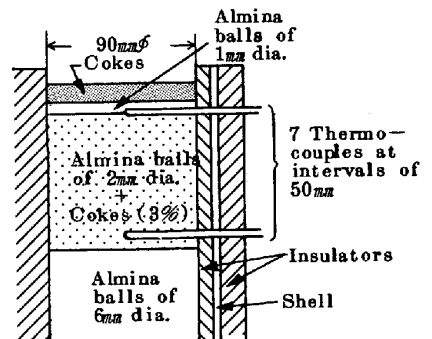


Fig. 1 Schematic Diagram of Experimental Apparatus

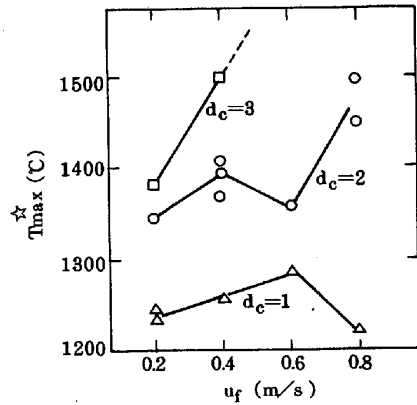


Fig. 2 Effect of  $d_c$  and  $u_f$  on  $T_{max}^*$

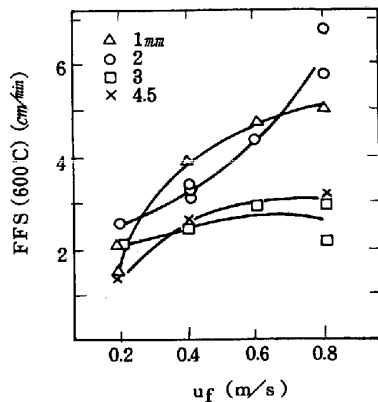


Fig. 3 Effect of  $d_c$  and  $u_f$  on FFS